

# CD19<sup>+</sup> CD24<sup>high</sup> CD27<sup>+</sup> 调节性 B 细胞在儿童传染性单核细胞增多症中的表达及意义

王跃飞 陈葆国 章 鸢 郑 瑞

**摘要 目的** 探讨调节性 B 细胞(Breg)在儿童传染性单核细胞增多症(IM)中的作用。**方法** 应用流式细胞术检测 53 例 IM 患儿外周血 T 淋巴细胞亚群, CD19<sup>+</sup> CD24<sup>high</sup> CD27<sup>+</sup> Breg 细胞表达情况。用荧光定量 PCR 检测血浆 EBV-DNA。同时用 ELISA 方法分析血清 IL-10、TGF-β 分泌水平。以 50 例健康儿童为对照。**结果** IM 急性期组与对照组比较 CD3<sup>+</sup> CD4<sup>+</sup> T 细胞明显降低( $t = 19.99, P < 0.01$ ), CD3<sup>+</sup> CD8<sup>+</sup> T 细胞明显增高( $t = 17.47, P < 0.01$ ), CD4/CD8 比值降低( $t = 16.79, P < 0.01$ )。IM 恢复期组与急性期组比较, CD3<sup>+</sup> CD4<sup>+</sup> T 细胞明显增高( $t = 21.54, P < 0.01$ ), CD3<sup>+</sup> CD8<sup>+</sup> T 细胞明显降低( $t = 17.47, P < 0.01$ ), CD4/CD8 比值增高( $t = 16.68, P < 0.01$ )。IM 急性期组 CD19<sup>+</sup> CD24<sup>high</sup> CD27<sup>+</sup> Breg 细胞表达水平  $13.4\% \pm 1.87\%$ , 与对照组比较显著降低, 差异有统计学意义( $t = 14.61, P < 0.01$ )。IM 急性期组 CD19<sup>+</sup> CD24<sup>high</sup> CD27<sup>+</sup> Breg 细胞表达水平与 EBV-DNA 病毒载量呈负相关( $r = -0.52, P < 0.01$ )。经治疗后 IM 恢复期组 CD19<sup>+</sup> CD24<sup>high</sup> CD27<sup>+</sup> Breg 细胞表达水平  $18.3\% \pm 2.11\%$  与 IM 急性期组比较显著增高, 差异有统计学意义( $t = 12.61, P < 0.01$ )。IM 急性期组血清 IL-10 较对照组明显降低, 差异有统计学意义( $t = 11.50, P < 0.01$ )。治疗后 IM 恢复期组 IL-10 较 IM 急性期组明显增高, 差异有统计学意义( $t = 9.40, P < 0.01$ )。**结论** IM 急性期存在明显免疫失衡, 即 CD3<sup>+</sup> CD8<sup>+</sup> T 细胞增多, CD4/CD8 比值降低, 可能与 Breg 细胞表达减低导致的免疫抑制功能不足有关。

**关键词** CD19<sup>+</sup> CD24<sup>high</sup> CD27<sup>+</sup> 调节性 B 细胞 IL-10 传染性单核细胞增多症 儿童

**中图分类号** R72      **文献标识码** A      **DOI** 10.11969/j.issn.1673-548X.2017.08.027

**Role of CD19<sup>+</sup> CD24<sup>high</sup> CD27<sup>+</sup> Regulatory B Cells in Children with Infectious Mononucleosis.** Wang Yuefei, Chen Baoguo, Zhang Yang, et al. Department of Pediatrics, The First Linghai Hospital, Zhejiang 317000, China

**Abstract Objective** To investigate the biological function of regulatory B cells (Bregs) in children with infectious mononucleosis (IM). **Methods** A total of 53 IM children and 50 healthy controls were enrolled. The T-cell subset and expressions of CD19<sup>+</sup> CD24<sup>high</sup> CD27<sup>+</sup> Bregs in peripheral blood mononuclear cells (PBMC) were evaluated by flow cytometry. The level of serum EBV-DNA copies was detected with fluorescent quantitative PCR. And the serum level of IL-10, TGF-β was measured by enzyme-linked immunosorbent assay (ELISA). **Results** IM patients in acute phase group had a significantly higher percentage of CD3<sup>+</sup> CD4<sup>+</sup> T cells ( $t = 19.99, P < 0.01$ ) and lower percentage of CD3<sup>+</sup> CD8<sup>+</sup> T ( $t = 17.47, P < 0.01$ ) cells than control, corresponding to a low ratio of CD4/CD8 ( $t = 16.79, P < 0.01$ ). Compared with IM children in acute phase, the IM children in recovery phase had a higher expression of CD3<sup>+</sup> CD4<sup>+</sup> T cells ( $t = 21.54, P < 0.01$ ) and lower expression of CD3<sup>+</sup> CD8<sup>+</sup> T cells ( $t = 17.47, P < 0.01$ ), and higher ratio of CD4/CD8 ( $t = 16.68, P < 0.01$ ). The percentage of CD19<sup>+</sup> CD24<sup>high</sup> CD27<sup>+</sup> Breg expression in PBMC of IM children in acute phase was  $13.4\% \pm 1.87\%$ , and it was lower than those in the health control group ( $t = 14.61, P < 0.01$ ). The expression level of CD19<sup>+</sup> CD24<sup>high</sup> CD27<sup>+</sup> Breg cells in the acute phase of IM was negatively correlated with EBV-DNA viral load ( $r = -0.52, P < 0.01$ ). The percentage of CD19<sup>+</sup> CD24<sup>high</sup> CD27<sup>+</sup> Breg expression in PBMC of post-treatment IM children in recovery phase was  $18.3\% \pm 2.11\%$ , and it was higher than those in the IM children in acute phase ( $t = 12.61, P < 0.01$ ). The level of IL-10 significantly decreased in serum of IM patients in acute phase compared with control ( $t = 11.50, P < 0.01$ ). The level of IL-10 significantly increased in serum of IM patients in recovery phase compared with IM patients in acute phase ( $t = 9.40, P < 0.01$ ). **Conclusion** In the acute phase of IM, there was obvious immune imbalance, that is, the increase of CD3<sup>+</sup> CD8<sup>+</sup> T cells and the decrease of CD4/CD8 ratio, which may be result from the decreased level of Breg cells and its insufficient of immunosuppression function.

基金项目:浙江省 151 人才工程基金资助项目[台人社发(2011)121 号]

作者单位:317000 临海市第一医院儿科(王跃飞);台州医院中心实验室(陈葆国、章鸯、郑瑞)

通讯作者:陈葆国,主任医师,电子信箱:baoguochen@126.com

**Key words** CD19<sup>+</sup> CD24<sup>high</sup> CD27<sup>+</sup> Bregs; IL-10; Infectious mononucleosis; Children

传染性单核细胞增多症 (infectious mononucleosis, IM) 是一种急性的单核 - 吞噬细胞系统增生性疾病, 是由 EB 病毒 (Epstein - Barr virus, EBV) 引起的急性或亚急性淋巴细胞良性增生, 亦是儿童时期常见的感染性疾病之一。IM 的发病机制仍不清楚, 可能与免疫系统异常相关, 尤其是免疫细胞功能改变在 IM 的发病及清除 EBV 中发挥重要作用<sup>[1,2]</sup>。调节性 B 细胞 (regulatory B cell, Breg) 是近年发现的一类具有免疫调节功能的 B 淋巴细胞亚群, 在感染性免疫中起重要的免疫调节作用。Iwata 等<sup>[3]</sup> 研究证实, 人外周血 Breg 细胞免疫表型多数为 CD19<sup>+</sup> CD24<sup>high</sup> CD27<sup>+</sup>, 利用 CD40L + CPG 刺激后能够大量分泌 IL-10, 发挥免疫负调节功能。本研究组应用流式细胞术检测 IM 患者外周血 T 淋巴细胞亚群和 Breg 细胞, 探讨 Breg 细胞与 IM 病程和疗效的关系。

### 材料与方法

1. 一般资料: 2014 年 6 月 ~ 2016 年 5 月在浙江省台州医院和临海市人民医院就诊治疗的 53 例 IM 患儿, 患儿年龄 2 ~ 12 岁, 平均年龄  $7.12 \pm 2.23$  岁; 男性患儿 32 例, 女性患儿 21 例。纳入标准: 符合 IM 诊断标准, 初次发病, 无糖皮质激素类药物或细胞毒性药物使用史, 无免疫调节剂使用史<sup>[4]</sup>。同期选择儿童保健门诊常规体检的 50 例健康儿童为对照组, 年龄为 3 ~ 13 岁, 平均年龄  $7.25 \pm 2.4$  岁, 其中男性 32 例, 女性 18 例。所有健康儿童均无变态反应性疾病及其他免疫性疾病史, 无免疫调节剂使用史。上述病例和健康对照儿童均签署知情同意书。

2. 标本采集: 分别采集 IM 患儿急性期 (发病 1 周内)、恢复期 (治疗后临床症状、体征消失, 病程 5 个月时) 和健康儿童静脉血 2ml, EDTA 抗凝, 标本采集后当天进行流式分析, 分离血浆进行荧光定量 PCR 分析。不抗凝血 5ml, 分析血清 -70℃ 冷冻保存备用。

3. T 淋巴细胞亚群检测: 取 EDTA 抗凝血 50μl, 分别加入 CD3 - FITC, CD8 - PE, CD45 - Percp - cy5.5, CD4 - APC (美国 BD 公司) 单克隆抗体 10μl, 混匀室温避光孵育 15min, 加红细胞裂解液 2ml, 室温避光 10min, 1000r/min 离心 5min, 去上清, 2ml 磷酸盐缓冲液 (PBS) 重悬再次 1000r/min 离心 5min, 去上清加含 2% 多聚甲醛 PBS 0.5ml。应用流式细胞仪 (美国 BD 公司) FACSDIVA 软件 CD45/SSC 方案设

淋巴细胞门, 分析 5000 个淋巴细胞, 计算 CD3<sup>+</sup>、CD3<sup>+</sup> CD4<sup>+</sup> 和 CD3<sup>+</sup> CD8<sup>+</sup> T 淋巴细胞亚群占总淋巴细胞的百分比 (%), 同时计算 CD4/CD8 比值。

4. 调节性 B 细胞检测: 取 EDTA 抗凝血 50μl, 分别加入 CD19 - Percp - cy5.5, CD24 - FITC, CD27 - PE (美国 BD 公司) 单克隆抗体 10μl, 混匀室温避光孵育 15min, 加红细胞裂解液 2ml, 室温避光 10min, 1000r/min 离心 5min, 去上清, 2ml PBS 重悬再次 1000r/min 离心 5min, 去上清加含 2% 多聚甲醛 PBS 0.5ml。应用流式细胞仪 FACSDIVA 软件设 CD19<sup>+</sup> B 淋巴细胞门, 计数 5000 个 B 淋巴细胞, 然后分析 CD19<sup>+</sup> CD24<sup>high</sup> CD27<sup>+</sup> Breg 细胞表达。结果以 Breg 细胞占 B 淋巴细胞的百分比 (%) 表示。

5. IL-10 和 TGF-β 检测: 全部观察对象均在清晨空腹采静脉血 5ml, 分离血清 -70℃ 冻存, IL-10、TGF-β (深圳晶美生物工程有限公司) ELISA 法检测按试剂说明书操作。

6. EB 病毒 DNA 检测: 采用荧光定量 PCR (美国 ABI 公司, ABI - 7500 PCR 仪) 检测 EBN - DNA, 取 50μl 血浆加 50μl DNA 裂解液 (达安基因公司) 振荡混匀, 金属浴器 100℃ 保温 10min, 13000r/min 离心 5min, 取裂解后上清液 (含病毒 DNA) 2μl 进行 PCR 扩增。取试剂盒 (达安基因公司) 反应混合液 43μl 与上述核酸于 PCR 薄壁管混匀, 上机检测。反应参数: 93℃ 预变性 2min, 93℃ 变性 45s, 55℃ 退火及延伸 60s, 10 个循环, 93℃ 30s, 55℃ 45s, 30 个循环, 37℃ 1min 结束反应。试剂盒提供的标准品、阳性和阴性参考品与样品同时反应。读取 Ct 值, 根据标准曲线计算病毒拷贝数, > 500 拷贝 / 毫升判为阳性。

7. 统计学方法: 据资料采用 SPSS 16.0 统计学软件包进行统计学处理, 正态分布数据以均数 ± 标准差 ( $\bar{x} \pm s$ ) 表示, 组间比较采用 t 检验。偏态分布数据用中位数 (M) 和  $P_{2.5} \sim P_{97.5}$  表示, 组间比较用秩和检验, 相关性用直线相关分析法。以  $P < 0.05$  为差异有统计学意义。

### 结 果

1. T 淋巴细胞亚群的表达: IM 急性期组与对照组比较, CD3<sup>+</sup> T 细胞明显增高 ( $t = 8.51, P < 0.01$ ), CD3<sup>+</sup> CD4<sup>+</sup> T 细胞明显降低 ( $t = 19.99, P < 0.01$ ), CD3<sup>+</sup> CD8<sup>+</sup> T 细胞明显增高 ( $t = 17.47, P < 0.01$ ), CD4/CD8 比值降低 ( $t = 16.79, P < 0.01$ )。IM 恢复

期组与急性期组比较, CD3<sup>+</sup> T 细胞没有完全恢复 ( $t = 6.71, P < 0.01$ ), CD3<sup>+</sup> CD4<sup>+</sup> T 细胞明显增高 ( $t = 21.54, P < 0.01$ ), CD3<sup>+</sup> CD8<sup>+</sup> T 细胞明显降低 ( $t = 17.47, P < 0.01$ ), CD4/CD8 比值增高 ( $t =$

16.68,  $P < 0.01$ )。IM 急性期患儿免疫失衡, 总 CD3<sup>+</sup> T 细胞增多, 尤其是 CD3<sup>+</sup> CD8<sup>+</sup> 细胞增殖活跃, 至恢复期逐渐恢复正常(表 1)。

表 1 IM 患儿与健康对照组 T 淋巴细胞亚群表达比较

组别	<i>n</i>	CD3 <sup>+</sup> (%)	CD3 <sup>+</sup> CD4 <sup>+</sup> (%)	CD3 <sup>+</sup> CD8 <sup>+</sup> (%)	CD4/CD8
对照组	50	68.98 ± 6.01	39.06 ± 4.00	24.36 ± 2.53	2.20 ± 0.44
IM 急性期组	53	77.37 ± 3.84 <sup>*</sup>	25.91 ± 2.56 <sup>*</sup>	38.94 ± 4.66 <sup>*</sup>	0.88 ± 0.35 <sup>*</sup>
IM 恢复期组	53	72.79 ± 3.42 <sup>#</sup>	39.11 ± 3.66 <sup>#</sup>	25.66 ± 2.99 <sup>#</sup>	2.11 ± 0.45 <sup>#</sup>

与对照组比较, <sup>\*</sup>  $P < 0.01$ ; 与 IM 急性期组比较, <sup>#</sup>  $P < 0.01$

2. CD19<sup>+</sup> CD24<sup>high</sup> CD27<sup>+</sup> Breg 细胞表达: 健康对照组儿童 CD19<sup>+</sup> CD24<sup>high</sup> CD27<sup>+</sup> Breg 细胞表达水平 20.11% ± 2.72%, IM 急性期患儿 CD19<sup>+</sup> CD24<sup>high</sup> CD27<sup>+</sup> Breg 细胞表达水平 13.4% ± 1.87%, 与对照组比较显著降低, 差异有统计学意义 ( $t = 14.61, P < 0.01$ )。经治疗后 IM 恢复期患儿 CD19<sup>+</sup> CD24<sup>high</sup> CD27<sup>+</sup> Breg 细胞表达水平 18.3% ± 2.11% 与 IM 急性期比较显著增高, 差异有统计学意义 ( $t = 12.61, P < 0.01$ ), 提示随着病情恢复缓解, Breg 细胞表达水

平逐渐恢复正常(表 2、图 1)。

表 2 IM 患儿与健康对照组 Bregs 亚群及 IL-10、TGF-β 表达比较

组别	<i>n</i>	CD19 <sup>+</sup> CD24 <sup>high</sup>		IL-10 (pg/ml)	TGF-β (ng/ml)
		CD27 <sup>+</sup> Breg (%)	CD27 <sup>+</sup> Breg (%)		
对照组	50	20.11 ± 2.72	0.98 ± 0.30	21.88 ± 4.16	
IM 急性期组	53	13.4 ± 1.87 <sup>*</sup>	0.45 ± 0.15 <sup>*</sup>	14.93 ± 3.02 <sup>*</sup>	
IM 恢复期组	53	18.3 ± 2.11 <sup>#</sup>	0.85 ± 0.27 <sup>#</sup>	20.69 ± 3.91 <sup>#</sup>	

与对照组比较, <sup>\*</sup>  $P < 0.01$ ; 与 IM 急性期组比较, <sup>#</sup>  $P < 0.01$

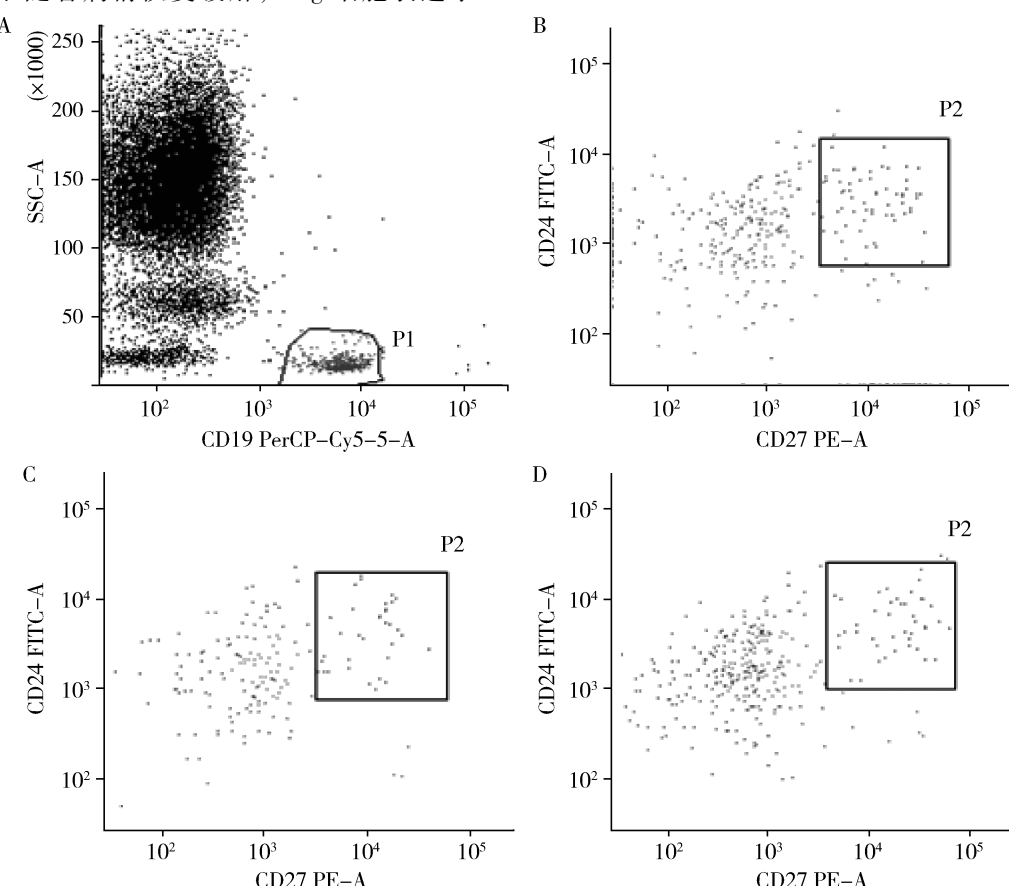


图 1 IM 患儿 Breg 表达

A. P1 CD19<sup>+</sup> B 淋巴细胞; B. P2 对照 Breg 细胞 20.25%; C. P2 IM 急性期患儿 Breg 细胞 11.59%; D. P2 IM 恢复期患儿 Breg 细胞 17.63%

3. 血清 IL - 10 和 TGF - β 水平: 健康对照组儿童血清 IL - 10 和 TGF - β 分别为  $0.98 \pm 0.30 \text{ pg/ml}$ 、 $21 \pm 4.16 \text{ ng/ml}$ , IM 急性期患儿血清 IL - 10 和 TGF - β 分别为  $0.45 \pm 0.15 \text{ pg/ml}$ 、 $14.93 \pm 3.02 \text{ ng/ml}$ , 与对照组比较明显降低, 差异有统计学意义 ( $t = 11.50$ 、 $9.75$ ,  $P$  均  $< 0.01$ )。治疗后 IM 恢复期患儿 IL - 10 和 TGF - β 分别为  $0.85 \pm 0.27 \text{ pg/ml}$ 、 $20.69 \pm 3.91 \text{ ng/ml}$ , 较 IM 急性期明显增高, 差异有统计学意义 ( $t = 9.40$ 、 $8.48$ ,  $P$  均  $< 0.01$ )。

4. CD19<sup>+</sup>CD24<sup>high</sup>CD27<sup>+</sup>Breg 细胞表达水平与血清 IL - 10 和 TGF - β 水平相关性分析: IM 急性期患儿外周血 CD19<sup>+</sup>CD24<sup>high</sup>CD27<sup>+</sup>Breg 细胞表达水平与血清 IL - 10 呈正相关 ( $r = 0.67$ ,  $P < 0.01$ ), 而与血清 TGF - β 水平无相关性 ( $r = 0.16$ ,  $P > 0.05$ )。

5. IM 患儿 EB 病毒 DNA 分析: 健康对照组 EBV - DNA 均为阴性。IM 急性期患儿 EBV - DNA 均为阳性, 拷贝数中位数 (M)  $1.42 \times 10^6$  拷贝/毫升 [ $P_{2.5} \sim P_{97.5}$ :  $(1.15 \times 10^4 \sim 1.2 \times 10^8)$  拷贝/毫升]。治疗后 IM 恢复期患儿 EBV - DNA 均阳性, 拷贝数中位数 (M)  $3.21 \times 10^3$  拷贝/毫升 [ $P_{2.5} \sim P_{97.5}$ :  $(0.99 \times 10^3 \sim 6.19 \times 10^3)$  拷贝/毫升], 与 IM 急性期比较差异有统计学意义 ( $U = 8.87$ ,  $P < 0.01$ )。相关性分析显示, IM 急性期患儿外周血 CD19<sup>+</sup>CD24<sup>high</sup>CD27<sup>+</sup>Breg 细胞表达水平与血清 EBV - DNA 载量呈负相关, ( $r = -0.52$ ,  $P < 0.01$ )。

## 讨 论

Mizoguchi 等<sup>[5]</sup>首先命名调节性 B 细胞, 并在炎症性肠病模型中证实调节性 B 细胞是一种新的免疫耐受细胞亚群。通过近年来的研究进展, 其生理功能逐渐被揭示, 调节性 B 细胞主要通过分泌 IL - 10 和 TGF - β 等抑制性细胞因子, 调控效应性 T 细胞、细胞毒性 T 细胞或 NK 细胞等免疫活性细胞功能, 以维护机体免疫平衡, 自身免疫性疾病、感染性疾病和肿瘤等发生时该免疫平衡往往失调<sup>[6]</sup>。既往文献报道的人调节性 B 细胞有多种亚群, 而 CD19<sup>+</sup>CD24<sup>high</sup>CD27<sup>+</sup>Breg 是较新发现的其中一种亚群, 因其表达的标记都位于细胞膜上, 适合于临床样本研究<sup>[7]</sup>。

Dililo 等<sup>[7]</sup>报道人 Breg 免疫表型主要为 CD19<sup>+</sup>CD24<sup>high</sup>CD27<sup>+</sup>, 在自身免疫性疾病、感染性疾病和肿瘤中发挥重要作用。本研究的结果发现, IM 急性期患儿 CD19<sup>+</sup>CD24<sup>high</sup>CD27<sup>+</sup>Breg 细胞表达水平较健康对照组显著降低, 经治疗后至 IM 恢复期, Breg 细胞

逐渐恢复至正常水平。EB 病毒载量分析显示, IM 急性期患儿 EBV - DNA 载量显著高于 IM 恢复期, 至恢复期患儿体内 EBV - DNA 仍呈低水平阳性, 可能与 IM 患儿临床恢复缓慢有关。相关性分析显示, IM 急性期患儿 CD19<sup>+</sup>CD24<sup>high</sup>CD27<sup>+</sup>Breg 细胞表达水平与 EBV - DNA 载量呈负相关。上述结果提示, Breg 与 EB 病毒载量密切相关, 随着治疗后病毒被有效清除而 Breg 表达水平逐渐恢复。

Breg 的主要功能是分泌大量的 IL - 10 和 TGF - β 等抑制性细胞因子<sup>[8,9]</sup>。本组结果显示, IM 急性期患儿血清 IL - 10 和 TGF - β 较对照组显著降低, 至 IM 恢复期患儿血清 IL - 10 和 TGF - β 均上升至正常水平。但是相关性分析显示, IM 急性期患儿外周血 Breg 表达水平与血清 IL - 10 高度相关, 而与 TGF - β 并无相关性。提示 CD19<sup>+</sup>CD24<sup>high</sup>CD27<sup>+</sup>Breg 细胞主要分泌 IL - 10 细胞因子。血清中 TGF - β 降低可能与其他免疫细胞功能抑制有关。此外, IM 急性期患儿免疫功能严重混乱, CD3<sup>+</sup>CD4<sup>+</sup>T 细胞显著降低, CD3<sup>+</sup>CD8<sup>+</sup>T 细胞明显增高, 甚至 CD4/CD8 比例倒置, 直至 IM 恢复期逐渐恢复正常。上述结果提示, 在 IM 急性期, CD19<sup>+</sup>CD24<sup>high</sup>CD27<sup>+</sup>Breg 细胞免疫抑制功能减弱, 有利于细胞毒性 T 细胞对 EB 病毒的裂解循环蛋白反应, 导致选择性克隆扩增, 使 EB 病毒特异性 CD8<sup>+</sup>T 细胞大量增殖, 进而杀伤 EB 病毒感染的 B 细胞, 促进宿主免疫系统对病毒的清除。至 IM 恢复期, CD19<sup>+</sup>CD24<sup>high</sup>CD27<sup>+</sup>Breg 细胞功能恢复正常, 通过分泌 IL - 10, 抑制细胞毒性 T 细胞及其炎性细胞因子的释放, 从而避免机体遭受过度免疫反应损伤<sup>[10]</sup>。

综上所述, 本研究结果表明, CD19<sup>+</sup>CD24<sup>high</sup>CD27<sup>+</sup>Breg 细胞与 IM 发病密切相关, 具体免疫调节机制有待于进一步深入研究。

## 参 考 文 献

- Michelow P, Wright C, Pantanowitz LA. Review of zhe cytomegaly of Epstein - barr virus - associated malignancies [J]. Acta Cytol, 2012, 56(1): 1 - 14
- Okano M, Gross TG. Acute or chronic life - threatening diseases associated with Epstein - Barr virus infection [J]. Am J Med Sci, 2011, 343(6): 1 - 7
- Iwata Y, Matsushita T, Horikawa M, et al. Characterization of a rare IL - 10 - competent B - cell subset in humans that parallels mouse regulatory B10 cells [J]. Blood, 2011, 117(2): 530 - 541
- 谢正德. 儿童 EB 病毒传染性单核细胞增多症临床特征及诊断标准 [J]. 实用儿科临床杂志, 2007, 22(22): 1759 - 1760

(下转第 131 页)

抑制 CXCR1 的表达能够促进结肠癌细胞凋亡, 抑制结肠癌细胞增殖, 作用机制可能与 STAT3 信号通路有关。这为进一步研究结肠癌的发病机制奠定了基础, 为结肠癌的基因治疗提供了新思路。

## 参考文献

- 1 Llosa NJ, Cruise M, Tam A, et al. The vigorous immune microenvironment of microsatellite instable colon cancer is balanced by multiple counter-inhibitory checkpoints [J]. *Cancer Discovery*, 2015, 5(1): 43–51
- 2 Parnaby CN, Scott NW, Ramsay G, et al. Prognostic value of lymph node ratio and extramural vascular invasion on survival for patients undergoing curative colon cancer resection [J]. *British J Cancer*, 2015, 113(2): 212–219
- 3 Gener P, Gouveia LP, Sabat G R, et al. Fluorescent CSC models evidence that targeted nanomedicines improve treatment sensitivity of breast and colon cancer stem cells [J]. *Nanomedicine: Nanotechnol, Biol Med*, 2015, 11(8): 1883–1892
- 4 Carbone C, Tamburrino A, Piro G, et al. Combined inhibition of IL1, CXCR1/2, and TGF-β signaling pathways modulates in-vivo resistance to anti-VEGF treatment [J]. *Anti-cancer Drugs*, 2016, 27(1): 29–40
- 5 Jin K, Pandey NB, Popel AS. Crosstalk between TNBC and stromal components via secreted factors enhances cell motility that can be attenuated by a CXCR1 inhibitor [J]. *Cancer Res*, 2016, 76(14 Supplement): 4084–4084
- 6 李照伟, 柳长明, 何其勇, 等. 姜黄素对结肠癌细胞 HT-29 中 NDRG2 基因表达的影响 [J]. 中国老年学杂志, 2015, 35(1): 187–188
- 7 Mukohiyama J, Shimono Y, Yamashita K, et al. Effect of Xenotransplantation site on microRNA expression of human colon cancer stem cells [J]. *Anticancer Res*, 2016, 36(7): 3679–3686
- 8 孙登群, 龚仁华, 孙艳军. 趋化因子受体 CCR4 在胆囊癌组织中的表达及意义 [J]. 中华肝胆外科杂志, 2015, 21(4): 253–256
- 9 Singh JK, Farnie G, Bundred NJ, et al. Targeting CXCR1/2 significantly reduces breast cancer stem cell activity and increases the efficacy of inhibiting HER2 via HER2-dependent and -independent mechanisms [J]. *Clin Cancer Res*, 2013, 19(3): 643–656
- 10 Lohri C, Schaltegger CSH, Van den Broek M, et al. Neutrophil expression of ICAM1, CXCR1, and VEGFR1 in patients with breast cancer before and after adjuvant chemotherapy [J]. *Anticancer Res*, 2014, 34(9): 4693–4699
- 11 Shen P, Chen X, Liao Y, et al. MicroRNA-494-3p targets CXCR4 to suppress the proliferation, invasion, and migration of prostate cancer [J]. *Prostate*, 2014, 74(7): 756–767
- 12 Zhou J, Yi L, Ouyang Q, et al. Neurotensin signaling regulates stem-like traits of glioblastoma stem cells through activation of IL-8/CXCR1/STAT3 pathway [J]. *Cellular Signal*, 2014, 26(12): 2896–2902
- 13 王俊普. CXCR1/2 在胃癌细胞增殖、迁移和侵袭中的作用及机制 [D]. 长沙: 中南大学, 2013
- 14 Czabotar PE, Lessene G, Strasser A, et al. Control of apoptosis by the BCL-2 protein family: implications for physiology and therapy [J]. *Nat Rev Mol Cell Biol*, 2014, 15(1): 49–63
- 15 Juin P, Geneste O, Gautier F, et al. Decoding and unlocking the BCL-2 dependency of cancer cells [J]. *Nat Rev Cancer*, 2013, 13(7): 455–465
- 16 Faber AC, Coffee EM, Costa C, et al. mTOR inhibition specifically sensitizes colorectal cancers with KRAS or BRAF mutations to BCL-2/BCL-XL inhibition by suppressing MCL-1 [J]. *Cancer Discovery*, 2014, 4(1): 42–52
- 17 Barclay LA, Lee S, Stewart M L, et al. A noncanonical mechanism for BCL-2 inhibition of pro-apoptotic BAX [J]. *Cancer Res*, 2014, 74(19 Supplement): 2954–2954
- 18 Shirali S, Aghaei M, Shabani M, et al. Adenosine induces cell cycle arrest and apoptosis via cyclinD1/Cdk4 and Bcl-2/Bax pathways in human ovarian cancer cell line OVCAR-3 [J]. *Tumor Biol*, 2013, 34(2): 1085–1095
- 19 Rahman MA, Amin ARMR, Wang D, et al. RRM2 regulates Bcl-2 in head and neck and lung cancers: a potential target for cancer therapy [J]. *Clin Cancer Res*, 2013, 19(13): 3416–3428
- 20 Siveen KS, Sikka S, Surana R, et al. Targeting the STAT3 signaling pathway in cancer: role of synthetic and natural inhibitors [J]. *Biochim Biophys Acta*, 2014, 1845(2): 136–154
- 21 Yue P, Lopez-Tapia F, Paladino D, et al. Hydroxamic acid and benzoic acid-Based STAT3 inhibitors suppress human glioma and breast cancer phenotypes In vitro and In vivo [J]. *Cancer Res*, 2016, 76(3): 652–663
- 22 Zhou X, Ren Y, Liu A, et al. STAT3 inhibitor WP1066 attenuates miRNA-21 to suppress human oral squamous cell carcinoma growth in vitro and in vivo [J]. *Oncol Rep*, 2014, 31(5): 2173–2180

(收稿日期: 2016-12-10)

(修回日期: 2016-12-20)

(上接第 109 页)

- 5 Mizoguchi A, Mizoguchi E, Smith RN, et al. Suppressive role of B cells in chronic colitis of T cell receptor α mutant mice [J]. *J Exp Med*, 1997, 186(10): 1749–1756
- 6 Den Haan JM, Kraal G, Bevan MJ. Cutting edge: lipopolysaccharide induces IL-10-producing regulatory CD4<sup>+</sup> T cells that suppress the CD8<sup>+</sup> T cell response [J]. *J Immunol*, 2007, 178(9): 5429–5433
- 7 DiLillo DJ, Matsushita T, Tedder TF. B10 cells and regulatory B cells balance immune responses during inflammation autoimmunity and cancer [J]. *Ann N Y Acad Sci*, 2010, 1183(1): 38–57
- 8 Lee-Chang C, Bodogai M, Martin-Montalvo A, et al. Inhibition of

breast cancer metastasis by resveratrol-mediated inactivation of tumor-evoked regulatory B cells [J]. *J Immunol*, 2013, 191(8): 4141–4151

- 9 Biragyn A, Lee-Chang C, Bodogai M. Generation and identification of tumor-evoked regulatory B cells [J]. *Methods Mol Biol*, 2014, 1190(5): 271–289
- 10 王强, 王佐凤, 董巍, 等. CD4<sup>+</sup>CD25<sup>+</sup>调节性T细胞及 Foxp3 在儿童传染性单核细胞增多症发病中的作用 [J]. 中华妇幼临床医学杂志, 2013, 9(2): 165–168

(收稿日期: 2016-11-07)

(修回日期: 2016-12-08)